

## زمین‌شناسی و سنگ‌شناسی افیولیت تکتونیزه کهدوئیه

مرتضی خلعت‌بری جعفری<sup>۱</sup> و هادی سپهر<sup>۲</sup>

<sup>۱</sup> پژوهشکده علوم زمین، سازمان زمین‌شناسی و اکتشافات معدنی کشور

<sup>۲</sup> دانشگاه آزاد اسلامی، واحد علوم و تحقیقات، تهران، ایران

تاریخ پذیرش: ۱۳۸۹/۰۵/۰۲ | تاریخ دریافت: ۱۳۸۸/۱۰/۱۴

### چکیده

افیولیت تکتونیزه کهدوئیه رخمنون یافته در منتهی‌الیه محدوده شمالی کمریند افیولیتی ده شیر- بافت، حاشیه جنوبی خرده قاره ایران مرکزی از پریدوتیت‌های گوشته‌ای و توالی پوسته‌ای تشکیل شده است. پریدوتیت‌های سرپانتینیتی شده ترکیب هارزبورژیت کلینپروکسن‌دار و لرزولیت دارند و توسط دایک‌های دیابازی منفرد قطع شده‌اند. توالی پوسته‌ای درونی دربردارنده گابریوهای توده‌ای و کمپلکس دایک‌های ورقه‌ای دیابازی است که توسط ایترودن‌های ورلیتی، کوارتزدیوریت، پگماتیت گابریو و پلازیوگرانیت-ترونجمیت قطع شده است. توالی آشفشانی این مجموعه دارای میان‌لایه‌هایی از چرت و رادیولاریت، سنگ‌آهک پلازیک دارای ریزفیصل‌های کرتاسه بالای در قاعده و همچنین برش هیالوکلاستیک، هیالوکلاستیت، جریان صفحه‌ای، توف و گدازه‌ای های شیمیایی دلالت بر منشأ سوپرا- سابداکشن دارد و غنی‌شدگی از عناصر کمیاب سبک مانند Rb و Ba و Th بازتابی از تأثیر سیال‌های برگرفته از صفحه فرورونده است. به نظر می‌رسد که افیولیت تکتونیزه کهدوئیه، مجموعه‌ای متواالی از مراحل شامل تولد، جوانی و بلوغ را در جریان تکامل خود پشت سر گذاشته است که پیامد طبیعی تشکیل افیولیت در پنهان‌های سوپرا- سابداکشن است.

**کلیدواژه‌ها:** افیولیت، پریدوتیت، گابریو ایزوتروپ، توالی پوسته‌ای، سوپرا- سابداکشن.

E-mail: Khalat1965@live.com

\*نویسنده مسئول: مرتضی خلعت‌بری جعفری

### ۱- مقدمه

شناخت تاریخچه بازشدگی پوسته قاره‌ای، تشکیل پوسته‌های اقیانوسی و بسته شدن آن‌ها، اهمیت ژئودینامیکی خاصی در شناخت تاریخچه تحولات پوسته زمین و رویدادهای بعدی دارد و در این راستا مدل‌های مختلفی در رابطه با تشکیل افیولیت‌ها و اهمیت جایگاه ژئودینامیکی آن‌ها ارائه شده است (از جمله Dilek & Furnes, 2009; Dilek et al., 2007; Dilek, 2003; Robertson, 2002; Shervais, 2001; Juteau & Maury, 1999, 2009; Stern & Bloomer, 1992) شناخت ویژگی‌های سنگ‌شناسی و ژئوشیمیایی هر یک از رخمنون‌های افیولیتی، اگر بر پایه در کر درست روابط روی زمین واحدها و برداشت سیستماتیک باشد، می‌تواند در شناخت تحولات ژئودینامیکی پوسته زمین در مقیاس ناحیه‌ای نیز کمک کند. نکته تأسیف آور در برخی از پژوهش‌های کنونی بر روی کمپلکس‌ها و مجموعه‌های افیولیتی در ایران، نشانختن روابط واحدها در روی زمین است و برداشت نمونه‌هایی از سنگ‌های آشفشانی اثرسنج و تجزیه آن‌ها که به صورت تکتونیزه در درون و کنار بروزدهای افیولیتی رخمنون دارند و نامیدن آن‌ها به عنوان افیولیت بر این تأسیف می‌افزاید. با توجه به این که شمالی‌ترین بخش از کمریند افیولیتی ده شیر- بافت کمتر مورد توجه بوده است، با هدف شناخت ویژگی‌های سنگ‌شناسی و ژئوشیمیائی این کمریند، رخمنون‌های افیولیتی پیرامون رستای کهدوئیه در جنوب شهر ده شیر انتخاب و برداشت صحرایی در چند مرحله در پاییز و برداشت نهایی در سپتامبر ۱۳۸۷ انجام پذیرفت. پس از تهیه مقاطع میکروسکوپی و مطالعه آن‌ها، ۲۱ نمونه انتخاب و به روش Icp-Mass در آزمایشگاه ALS در ونکور کانادا تجزیه شیمیایی شدند. این نوشانار حاصل بررسی‌های روی زمین، سنگ‌نگاری میکروسکوپی و بررسی‌های سنگ‌شناسی و ژئوشیمیایی این مجموعه است.

### ۲- زمین‌شناسی عمومی محدوده

در رابطه با پیشینه مطالعات زمین‌شناسی انجام شده در کمریند افیولیتی ده شیر- بافت، می‌توان به گزارش زمین‌شناسی ناحیه کرمان (Dimijtric, 1972)، اشاره کرد. ورقه ۱:۲۵۰,۰۰۰ آباده (عمیدی و همکاران، ۱۳۶۲) و ورقه ۱:۱۰۰,۰۰۰ ده شیر (روشن‌روان و همکاران، ۱۳۷۵) نیز از جمله دیگر مطالعات زمین‌شناسی

افیولیت تکتونیزه جنوب کهدوئیه در انتهای شمال کمریند افیولیتی ده شیر- بافت در حاشیه خرده قاره ایران مرکزی و در جنوب شهر ده شیر رخمنون دارد (شکل ۱). در این محدوده بدليل عملکرد گسل ده شیر و شاخه‌های فرعی آن، رخمنون‌های این کمریند افیولیتی، به‌شکل گوهه‌ای درآمده‌اند. این مجموعه تکتونیزه از باخته توسط گسل ده شیر به دشت ابرکوه و از جانب خاور به سنگ‌های رسوبی اثرسنج تاثر دارد. از آنجا که در سنگ‌های محدوده مورد مطالعه جز درگسانی و متساویاتیم مرتبط با تشکیل افیولیت، دگرگونی ناحیه‌ای که سنگ‌های این مجموعه را تحت تأثیر قرار داده باشد، دیده نشده است و آثار دگرگونی به صورت محدود و در امتداد پهنه‌های گسلی برشی با ویژگی‌های دینامیک قابل تعقیب است، در این نوشانار از کاربرد واژه افیولیت ملاتر پرهیز و از واژه افیولیت تکتونیزه که در قالب تعریف "مجموعه افیولیتی" (Ophiolitic assemblage) می‌گنجد (Juteau & Maury 1999; 2009) استفاده شده است.

اهمیت ژئودینامیکی افیولیت‌ها که می‌توان آن را "پوسته‌های اقیانوسی فسیل" نامید، در سرنوشت دیر و یا زود هنگام آن‌ها در بازگشت به ژرفای زمین نهفته است که به‌طور معمول توسط پدیده فروزانش رقم خورده است. تشکیل "پوسته‌های اقیانوسی فسیل"، به‌طور معمول با یک بالآمدگی گوشته‌ای- سست کرده همراه است که طی آن و با توجه به سرعت بازشدگی و شرایط ژئودینامیکی زمان تشکیل، توالی‌های گوشته‌ای و پوسته‌ای با ویژگی‌های ساختاری، سنگ‌شناسی و ژئوشیمیائی خاص خود شکل گرفته‌اند. بسته شدن پوسته‌های اقیانوسی کهن، فروزانش آن‌ها و گذر از مراحل تشکیل گوه، سوچر و سپس ذوب بخشی و ایجاد فعالیت آشفشانی بعدی، گویای تاریخچه‌ای است که شناخت آن می‌تواند برای هر زمین‌شناسی و با هر گرایشی جالب باشد.

کمپلکس‌ها و مجموعه‌های افیولیتی در ایران، بقایایی از پوسته‌های اقیانوسی پالوثریتیس (به مقدار محدود) و نتوتیس به شمار می‌آیند که در دسته‌بندی Knipper & Ricou (1986) جزو افیولیت‌های درونی ایران است و میان افیولیت‌های کابل- پاکستان در خاور و افیولیت‌های وار و ترکیه در باخته رخمنون دارند.

کربناتی و گاه رادیولاریت سرخ‌رنگ دیده می‌شوند که ویژگی‌های دیرینه‌شناسی مشابه سنگ‌آهک گلوبوترونکانادر و رادیولاریت را دارند. در مواردی سنگ‌های این توالی تحت تأثیر دگرسانی کف دریا با اپیدوت جانشین (شکل ۴-ط) شده‌اند. به سوی خاور محدوده مورد مطالعه و در حاشیه گدازه‌های بالشی، گدازه آندزیتی فیریک و ایگنمنبریت با سن اثوسن به صورت تکتونیزه و درهم بروزند دارند که البته در مقیاس نقشه‌های زمین‌شناسی چاپ شده قابل برداشت نیستند.

### ۳- سنجش‌نگاری

بر پایه بررسی‌های سنگ‌نگاری، بیشتر مقاطع میکروسکوپی پریدوتیت‌ها، به شدت سرپانتینی شده‌اند، اما برخی مقاطع به طور کامل سالم هستند. الیون در این نوع مقاطع ساختار کینک دارد (شکل ۵-الف). ارتوپروکسن از نوع انتستاتیت و در بردارنده نواحی نازکی از دیوپسید است که در دو نسل قابل توجه هستند. برخی از آن‌ها دگرشکل هستند به گونه‌ای که خاموشی موچی دارند و نواحی دیوپسید در درون آن‌ها، تاب خورده‌اند. در حالی که برخی دیگر بدون دگرشکلی، دارای خاموشی عادی و نواحی دیوپسید غیر دگرشکل اند (شکل ۵-ب). کلینوپروکسن نیز از نوع دیوپسید (شکل ۵-پ) است. تشکیل پروکسن‌های دگرشکل و الیون‌های با ساختار درونی کینک از جمله شواهد دگرشکلی گوشه‌های است (Juteau & Maury 1999; Munter & Piccardo, 2003). شکل گیری بلورهای ریز الیون و بدون دگرشکلی و پروکسن‌های غیر دگرشکل در کنار انواع کانی‌های دگرشکل (شکل ۵-ت) را می‌توان به گذر محلول‌ها و سیال‌های مگمایی عبوری (که سنگ‌های سری‌های بالای کمپلکس افیولیتی را تشکیل داده‌اند) نسبت داد (Shafaii Moghadam et al. 2009).

گابریو ایزوتربوب، در بردارنده الیون گابریو (شکل ۵-ث)، پروکسن گابریو، گابرودیوریت فولیه آمفیولیت دار (شکل ۵-ج) با بافت کومولیتی است. الیون اولین فاز کانیایی است که تبلور یافته است. این کانی بی‌شکل است و در مواردی ساختمان داخلی نشان می‌دهد که می‌توان از جمله شواهد دگرشکلی ویسکوز و نتیجه بسته‌بندی (packing) بلورها در طی فرایند فشردگی (compaction) در آن‌ها بیان کرد (Hunter, 1996). ارتوپروکسن نیز از جمله فازهای اصلی کانی‌شناسی پس از تشکیل الیون است (شکل ۵-چ). پلازیوکلاز، کلینوپروکسن و هورنبلاند سبز از کانی‌های تشکیل دهنده گابریو هستند. به دلیل وجود میان‌بارهای از کلینوپروکسن در درون پلازیوکلاز و بالعکس، مشکل می‌توان در مورد ترتیب تبلور پلازیوکلاز و کلینوپروکسن قضایت کرد. با توجه به مطالعات میکروسکوپی، هورنبلاند گابریو بلورهای درشتی از هورنبلاند سبز دارد که به صورت پوششی کانی‌های پیشین را در برگرفته و بافت هتراد کومولا ایجاد کرده‌است. با توجه به این که بافت ارتوکومولا در یک سامانه بسته شکل می‌گیرد و بافت‌های مزو کومولا، آد کومولا و هتراد کومولا نمایان گر سامانه‌ای باز از حجره ماگمایی در حال تبلور با امکان تراویی مواد مگمایی جدید هستند (Winter, 2001)، می‌توان نتیجه گرفت که گابریوهای ایزوتربوب جنوب ده‌شیر، در یک سامانه باز به وجود آمده‌اند. بر پایه پژوهش (Kocak et al. 2005)، بر روی هورنبلاند گابریوهای آنانالوی در مرکز ترکیه، تشکیل هورنبلاند در گابریو ممکن است به دو شکل کانیایی تشمیکت و مگنزیو‌هورنبلاند صورت گیرد. به نظر می‌رسد که تشمیکت به طور مستقیم از یک ماگمایی آبدار و پس از تبلور پروکسن و یا الیون و پلازیوکلاز کلسیک تشکیل شود در حالی که مگنزیو‌هورنبلاند ممکن است به صورت یک فاز کانیایی ثانوی و به موازات افزایش آب ماگما جانشین کانی‌های فرومینزین پیشین چون پروکسن شود. تبلور پلازیوکلاز کلسیک در هورنبلاند گابریو محدود اما به طور مستقیم ناشی از تبلور ماگما است. همچنین نامبردگان بر این باورند که هورنبلاند گابریوهای ممکن است به صورت کومولاً بی به وجود آیند یا این که در اثر فشردگی (compaction) کانی‌های کومولاًی و خروج مایع میان بلوری باقیمانده و تبلور آن‌ها، هورنبلاند گابریو تشکیل شود. در چنین وضعیتی فراوانی عناصر در این

ناحیه است. بررسی مجموعه‌های افیولیتی ده شیر- شهربابک (امینی و کربیمی، ۱۳۸۴)، زمین‌شناسی و ارزیابی پتانسیل معدنی کمریند افیولیتی خمرود- شهربابک (آفتابی و فتحی، ۱۳۸۴)، ژئوشیمی و سنگ‌شناسی توده‌های نفوذی ده‌چ- کمرود- شهربابک (ابراهیمی شاه آبادی، ۱۳۸۴)، ساختار و منشاء کمریند افیولیتی نائین- بافت (شفاهی مقدم، ۱۳۸۷)، ژئوشیمی و پتروژئنر توالی پوسته‌ای مجموعه افیولیتی تکتونیزه خبر- مروست (سلطان محمدی، ۱۳۸۸)، Soltanmohammadi et al. (2009) و Shafaii Moghadam et al. (2009) از جمله دیگر مطالعات انجام شده در این کمریند افیولیتی هستند.

در شکل ۳، ستون چینه‌نگاری نمادین از موقعیت واحدهای مختلف افیولیت تکتونیزه جنوب کهدوینیه نشان داده شده است. توالی گوشه‌های از پریدوتیت‌های به شدت سرپانتینی شده، هارزبورژیت- هارزبورژیت کلینوپروکسن دار و لرزولیت سرپانتینی تشکیل شده است (شکل ۴-الف)، که توسط دایک‌های منفرد از میکروگابریو- دیباز (شکل ۴-ب) و ایزوتربوب‌های پلازیوگرانیت- ترونجمیت (شکل ۴-پ و ت)، قطع شده‌اند. رونگتیت به مقدار کمتر و لیستونیت کربناتی تا سیلیسی- کربناتی به گونه‌ای قابل توجه این توالی را قطع کرده‌اند (شکل ۴-ث). افزون بر آن، بلوک‌های ییگانه از کالک- سیلیکات (شکل ۴-ج)، مرمر و آمفیولیت نیز به صورت پراکنده دیده می‌شوند.

توالی پوسته‌ای را می‌توان در دو بخش درونی و بیرونی مجزا کرد. در بخش درونی، گابریو لایه‌ای دیده نشد. این بخش بیشتر از گابریو ایزوتربوب تشکیل شده است که قابل مقایسه با ترازهای بالای گابریوها در کمپلکس‌های افیولیتی است. با مطالعه بر روی آمفیولیت‌های گذاشده از (Shafaii Moghadam et al. 2009) آمفیول گابریو ماسیف ده‌شیر به روش K-Ar ۹۳/۸ میلیون سال را به دست آورده‌اند. در سقف توالی، مقدار ناچیزی از گابریو فولیه (شکل ۴-ج) و به گونه‌ای گستردۀ کمپلکس دایک‌های دیبازی تشکیل شده است (شکل ۴-ح، خ و د). کمپلکس دایک‌های ورقه‌ای دیبازی دارای آزمیوت عمومی شمالی- جنوبی با چند درجه انحراف به سوی خاور و باخته هستند. توالی یادشده توسط ایزوتربوب‌های ورقه‌ای (شکل ۴-خ) با آزمیوتی مشابه کمپلکس دایک‌های ورقه‌ای دیبازی قطع شده و آپوفریزهای کم‌ستبر او طوبیل سیاری از کوارتز‌دیوریت آمفیول دار آن هاراقطع نموده‌اند (شکل ۴-ذ). پگماتیت گابریو ایزوتربوب‌های ورقه‌ای و پلازیوگرانیت- ترونجمیت، پگماتیت گابریو را قطع کرده‌اند (شکل ۴-ز، س). دایک‌های تیره فرود‌دیبازی، آخرین فاز مگماتیک است که پگماتیت- گابریو را قطع کرده‌اند (شکل ۴-ش). توالی خروجی (شکل ۴-ص) در قاعده در بردارنده مجموعه‌ای از چرت تیره‌رنگ تا رادیولاریت سرخ‌رنگ است که با بررسی مقاطع میکروسکوپی بخش رادیولاریتی آن (شکل ۴-ض و ط) سن کرتاسه پسین تعیین شده و ریزفسیل‌های Radiolaria, Sponge spicules در آن‌ها تشخیص داده شد. به سوی بالای توالی، به ترتیب میان‌لایه‌هایی از سنگ‌آهک پلازیک بروزند دارند که با بررسی دیرینه‌شناسی مقاطع میکروسکوپی آن‌ها نیز سن کرتاسه پسین تعیین و ریزفسیل‌های زیر با سن کرتاسه پسین تشخیص داده شده‌اند:

*Globotruncana arca, Gansserina gansseri, Globotruncana ventricosa, Glonita sabspinosa, Glonita stuarti, Rosita contusa, Globotruncanella citae, Oligosteginidea, Radiolaria.*

لازم به یادآوری است که بر پایه مطالعات دیرینه‌شناسی و تشخیص ریزفسیل‌های روش روان و همکاران (۱۳۷۵) سن کرتاسه پسین (مائیستریشتن) را برای سنگ آهک‌های پلازیک همراه با گدازه‌های بالشی کناری کمپلکس دایک‌های ورقه‌ای دیبازی گزارش کردند. هیالوکلاستیت، برش هیالوکلاستیک و توف و به سوی بالای توالی مجموعه‌ای از جریان صفحه‌ای (sheet flow) و گدازه بالشی رخنمون دارند. میان گدازه‌های بالشی بیشتر هیالوکلاستیت سیار ظریف و در مواردی سیمان

دارند و ایدوت و مسکوویت همراه با بلورهای ریز کانی‌های نوظهور کربناتی و کوارتز، برگوارگی را تشکیل داده‌اند. لیستونیت نیز بیشتر از کانی‌های کربناتی نوظهور و کوارتز تشکیل شده است.

#### ۴- ژئوشیمی

برای شناخت ویژگی‌های ژئوشیمیایی و جایگاه ماگمایی- زمین‌ساختی مجموعه افولیتی تکتونیزه جنوب کهدوئین، نمونه‌های برداشت شده در آزمایشگاه ALS در کانادا تجزیه و تحلیل شدند و در این راستا از تفسیر نمودارهای مرتبط استفاده شد. نمونه‌های توالی خروجی مانند جریان صفحه‌ای و گدازه بالشی دگرسانی شدیدی متحمل شده‌اند اما نمونه‌های مربوط به توالی درونی مانند گابروها و کمپلکس دایک‌های ورقه‌ای دیابازی سالم ترند. از آن جایی که توالی پوسته‌ای درونی در محدوده کهدوئین قابل مقایسه با افق‌های بالاتر از توالی پوسته‌ای در کمپلکس‌های افولیتی شاخص است، از نمونه‌های این توالی برای تفسیرهای ژئوشیمیایی استفاده می‌شود. برای مقایسه نتایج تجزیه‌ها با بررسی‌های میکروسکوپی، از نمودار Le Bas et al. (1986) برای نامگذاری ژئوشیمیایی استفاده شد که به دلیل حجم مطالب مورد نظر از آوردن آن‌ها در این مقاله پرهیز شد. بر اساس نمودار، نمونه‌های گابروی ایزوتروپ و گابرو دیبوریت فولیه هورنبلانددار در قلمرو بازالت، دایک‌های ورقه‌ای دیابازی در قلمروهای بازالت تا آندزیت بازالتی، جریان صفحه‌ای، گدازه بالشی و دایک‌های دیابازی منفرد در قلمروهای بازالت- تراکی بازالت تا تراکی آندزیت بازالتی، کوارتزدیبوریت در قلمروهای داسیت و تراکی آندزیت و نمونه‌های مربوط به پلازیوگرانیت-ترونجیت در قلمروهای ریولیت و تراکی داسیت واقع شده‌اند. نظر به اهمیت نمودارهای عنکبوتی، در تفسیر ژئوشیمیایی و جایگاه ماگمایی- زمین‌ساختی، نتایج تجزیه‌های شیمیایی محدوده Sun & Macdonough مورد مطالعه، با مقادیر گوشه‌های اولیه و کندریت از (1989) بهنجار شدند (شکل ۶). در این نمودارها جزء نمونه از توالی خروجی و یک نمونه گابروی فولیه هورنبلانددار، بقیه الگوها تهی شده از عنصر Nb هستند. همچنین تهی شدگی از عنصر Ta در بیشتر الگوها و Ti و Zr بازالت توجه است. تهی شدگی عنصر Ti در الگوی کوارتزدیبوریت و تونالیت- ترونجیت آشکارتر از دیگر نمونه‌ها است و شبی غنی شدگی از عنصر کمیاب سبک نسبت به عناصر کمیاب سنگین، نمود پیشتری دارد. در مقایسه با ترکیب مورب عادی این نمونه‌ها غنی شدگی از عناصر سبک لیتوفیل بزرگ یون (LILE) (مانند Th, Cs) و تهی شدگی از عنصر Nb در بیشتر تجزیه‌ها و عناصر Ti, Ta و Zr در برخی از آن‌ها نشان می‌دهند که از جمله ویژگی‌های آشکار افولیت‌های مرتبط با فروراشی یا به عبارتی بهتر افولیت‌های سوپرا- سابداکشن است (Dilek & Furnes, 2009; Dilek et al., 2007; Dilek, 2003; Saccani & Phontiades, 2004; Beccaluva et al., 2004; Robertson, 2002; Shervais, 2001; Juteau & Maury, 1999; 2009; Stern & Bloomer, 1992). در نمودارهای بهنجار شده با مقادیر کندریت (شکل ۶)، تغییرات عناصر خاکی کمیاب سبک به سنگین در جریان صفحه‌ای و گدازه بالشی در ترازی بالاتر از نمونه‌های توالی پوسته‌ای درونی قرار گرفته‌اند که تأییدی بر فرایند تغیریق در تشکیل آن‌ها است. الگوی گابروهای ایزوتروپ، دایک‌های دیابازی ورقه‌ای، پگماتیت گابروها و نمونه‌های توالی آتشفسنی کم ویش خطی است و از روند یکسانی پیروی می‌کند اما در ترازهای متفاوتی جای گرفته‌اند، به گونه‌ای که برخلاف روند عادی تغیریق، الگوهای مربوط به پگماتیت گابرو و دایک دیابازی قطع کننده آن‌ها در ترازی پایین‌تر از دایک‌های ورقه‌ای جای گرفته‌اند که می‌تواند ناشی از ناهمگونی ترکیب گوه گوشه‌های و ررقه‌ای و یا تأثیر متفاوت ترکیبات برخاسته (subducted slab) از صفحه فرورونده (subduction components) بویژه سیال‌ها بر روی گوه گوشه‌های باشد که تولید کننده اصلی مagma‌های سازنده این سنگ‌ها

نمونه‌ها مشابه محیط‌های اقیانوسی و کمانی خواهد بود و یا می‌توانند ویژگی‌های مشابه بازالت‌های پشت کمان را داشته باشند.

دایک‌های ورقه‌ای دیابازی، بافت میکروسکوپی دیابازی تافریک با خمیره دیابازی (شکل ۵-ح) تا دیاباز کوارتردار (شکل ۵-خ) دارند. درشت‌بلورها دربردارنده بقایای پلازیوکلاز، کلینوپیروکسن و بهندرت الیوین هستند. درشت‌بلورهای پلازیوکلاز به سوسوریت، کلریت، لوکوکسن، مواد آرژیلی و گاهی آلیت دگرسان شده‌اند. کلینوپیروکسن به طور چهار با ترمولیت- آکتینولیت، کلریت، لوکوکسن و هورنبلاند جانشین شده‌اند. پلازیوکلازهای خمیره نیز گاه سالم هستند و گاه دگرسانی مشابه درشت‌بلورهای پلازیوکلاز دارند. کلینوپیروکسن خمیره نیز به طور کلی با هورنبلاند، ترمولیت- آکتینولیت، کلریت، لوکوکسن و کانی‌های گاهی جانشین شده است. کانی‌های اپاک و بلورهای ریز اسفن نیز در مواردی قابل توجه هستند. در دیابازهای کوارتردار، کانی کوارتر به صورتی بی‌شکل در میان دیگر کانی‌ها شکل گرفته است.

کوارتزدیبوریت‌های آمفیبولدار، بافت فیریک با خمیره‌ای ریز بلور دارند. درشت‌بلورهای هورنبلاند سیز و پلازیوکلاز حدود ۴۵ درصد از مقطع را تشکیل داده‌اند. خمیره نیز افزون بر کانی‌های هورنبلاند و پلازیوکلاز، دربردارنده بلورهای ریز کوارتر و آلالکالی فلدسپار به شدت آرژیلی شده است (شکل ۵-د). اینترورژن‌های ورلیتی در این ناحیه از ورلیت و ورلیت ارتوپیروکسن (کانی‌های اصلی) و ارتوپیروکسن در مقادیر متغیری قابل توجه هستند. به طور کلی این نمونه‌ها در مقاطع میکروسکوپی به شدت اکسید و سرپانتینی شده‌اند.

پگماتیت گابرو نیز دارای ترکیب الیوین گابرو و پیروکسن گابرو است. الیوین گابرو سالم تر است و از بلورهای درشت الیوین با ساختمان داخلی، پلازیوکلاز کلسیک، کلینوپیروکسن و به صورت فرعی ارتوپیروکسن (کانی‌های اصلی) و ارتوپیروکسن در پگماتیت گابرو با ترکیب پیروکسن گابرو، الیوین دیده شده است (شکل ۵-ذ).

اینترورژن‌ها و دایک‌های نفوذی اسیدی، دارای ترکیب پلازیوگرانیت تا ترونجیت هستند. پلازیوگرانیت‌ها، بافت فیریک با خمیره ریزبلورین (شکل ۵-ر) و یا گرانولار دارند. پلازیوکلازهای سدیک و کوارتز هم در درشت‌بلورها و هم در خمیره دیده می‌شوند که در مواردی بافت کاملاً خرد شده دارند که احتمال بالآمدگی آن‌ها در امتداد گسل‌های اصلی را تقویت می‌کند. افزون بر کانی‌های بیان شده، آلالکالی میکروپگماتیت گرافیک (شکل ۵-ر) است. افزون بر کانی‌های تا بشدت گرافیک داشته است. فلدسپار همراه با کوارتزنقش اصلی در تشکیل بافت میکروپگماتیت گرافیک داشته است. توالی خروجی در بردارنده هیالوکلاستیت، برش و توف هیالوکلاستیک و گدازه بالشی است. برش و توف هیالوکلاستیک تا لیتوکلاستیک هستند. دانه‌های دارند. توف‌ها دارای بافت کریستالوکلاستیک تا لیتوکلاستیک هستند. دانه‌های پلازیوکلاز و کلینوپیروکسن به شدت دگرسان و قطعه‌ها نیز به طور چهار اکسید شده‌اند. اسماکتیت، کلریت و رگچه‌های پرشده از آلیت و کلسیت نیز قابل توجه هستند. گدازه‌های بالشی به ندرت بافت فیریک و بیشتر بافت ایترسراول دارند. شیشه آشفسانی نیز به طور کامل با اسماکتیت جانشین شده است (شکل ۵-س). کانی‌های گدازه بالشی در دو نسل تشکیل شده‌اند. نسل اول دربردارنده خوش‌هایی (clusters) از پلازیوکلاز و کلینوپیروکسن است که به نظر می‌رسد همزمان با فوران از راه‌های خروج گدازه تبلور یافته‌اند. نسل بعدی، میکروولیت‌های پلازیوکلاز و بلورهای ریز کلینوپیروکسن و شیشه آشفسانی اسماکتیتی شده‌اند که هنگام فوران در کف دریا شکل گرفته‌اند. کلینوپیروکسن‌ها شکل دم خروسوی دارند که خود از شواهد فوران آشفسانی زیردریایی است (Juteau & Maury, 1999; 2009). جریان‌های صفحه‌ای نیز ترکیب آندزیتی و بافت میکروولیتیک جریانی دارند (شکل ۵-ش).

مقاطع میکروسکوپی نمونه‌های مربوط به کالک‌شیست بافت پورفیروکلاستیک

تغیریق بلورین است. بر پایه داده‌های انتشار یافته از زون‌های فروزانش حرارتی گسترده‌ای در زون‌های فروزانش متاخر ک است و همراه با سیال‌های آب‌دار انتشار می‌باشد. Th در سیال‌های حرارت پایین، کم تحرک و یا نامتحرک ک است اما در حرارت بالا که رسوبات بالای صفحه فرورونده و یا گوه گوشته‌ای دچار ذوب بخشی می‌شوند میل ترکیبی دارد. افزون بر این، یک عنصر کلیدی برای تشخیص زون‌های فروزانش است، زیرا تمامی گذاره‌های کمانی از این عنصر غنی شدگی نشان می‌دهند (Juteau & Maury, 2009). اما Nb پیشتر نامتحرک ک است. بنابراین از نسبت‌های عناصری چون Th/Nb و Ba/Th می‌توان برای تشخیص نحوه تأثیر تکبیات بر خاسته از صفحه فرورونده از جمله مذاب ناشی از ذوب بخشی رسوبات و یا سیال‌ها، در تکوین ماقما در این زون‌های استفاده کرد. شکل ۴، موقعیت تجزیه‌های توالی پوسته‌ای افیولیت کهدوئیه و تأثیر پیشتر سیال‌ها و نقش کمتر مذاب ناشی از ذوب بخشی رسوبات را در ذرت آن‌ها نشان می‌دهد. همان‌گونه که دیده می‌شود فراوانی نسبت‌های عناصر بیان شده از مقادیر میانگین مناطقی چون اقیانوس هند و مورب عادی نیز پیشتر است.

سؤال بعدی سازوکار تأثیر سیال‌ها بر ژنز ماقما در زون‌های فروزانش است. در مدلی نمادین و برگرفته از (Stern & Bloomer, 1992)، ارتباط تشکیل افیولیت با بازشدگی سریع در صفحه بالایی یک زون فروزانش در شرف تولد را نشان داده است (شکل ۱۰). در این مدل و در یک زون فروزانش در حال تولد، صفحه فرورونده با سست کره زیرین خود که پیشتر منشأ مورب را دارد به سوی ژرف‌کشیده می‌شود. در این مرحله ممکن است در بالای صفحه فرورونده (subducted slab)، کشیدگی سریع اتفاق افتاده و فضای خالی در محدوده گوه گوشته‌ای بالای صفحه تشکیل شود. بدلیل ویژگی‌های پلاستیک، سست کره زیر صفحه فرورونده می‌تواند به بالای صفحه و در محدوده فضای خالی بیان شده نفوذ کند. در هنگام فرایندهای یادشده و با ورود صفحه فرورونده به ژرفه، کانی‌های آب‌دار، آب خود را درست داده و شرایط برای تشکیل سیال‌های آب‌دار فراهم می‌شود که با تأثیر بر گوه گوشته‌ای سبب پایین آمدن نقطه ذوب بخشی آن می‌شوند. با افزایش پیشتر ژرفای صفحه فرورونده و خروج سیال‌ها، این صفحه نیز چهار ضعف و شکستگی و در ژرفای گوشه غرق و نایدید می‌شود. ذوب بخشی گوه گوشته‌ای بالای صفحه فرورونده و تأثیر متفاوت سیال‌ها و یا مذاب، می‌تواند شرایط را برای تشکیل افیولیت‌های سوپرا-سایدآکشن فراهم کند. به موازات فاصله گرفتن از جبهه فروزانش و حرکت به سوی کمان‌ها می‌توان تأثیر متفاوت اما پیشتر تکبیات فروزانش را شامل سیال‌ها و یا مواد مذاب بر ژنس ماقما شاهد بود.

## ۵- بحث

تشکیل پوسته‌های اقیانوسی که پس از جایگیری در سطح زمین با عنوان افیولیت شناخته می‌شوند به روش‌های مختلفی صورت می‌گیرد. (Miyashiro, 1973) به صورتی اصولی متوجه این نکته شد که برخی از افیولیت‌ها و رسوبات با منشأ آتشفسانی همراه آن‌ها، دارای شbahات‌های ژئوشیمیایی و چینه‌نگاری همچون ماقماهای جزایر کمانی هستند. مطالعات بعدی نشان داد که حوضه‌های حاشیه‌ای (marginal) مرتبط با فروزانش می‌تواند محل مناسبی برای تشکیل افیولیت‌ها باشد و به این ترتیب می‌توان تشکیل سنگ‌های آذرین با ویژگی‌های ژئوشیمیایی کمان‌ها و یا رسوبات با منشأ آتشفسانی که مواد سازنده آن‌ها از کمان‌های آتشفسانی اطراف حمل شده‌اند را توجیه کرد (Brouxel & Lapierre, 1998). این نوع افیولیت‌ها اکنون با نام سوپرا-سایدآکشن (supra-subduction) معروف‌ند نامی که اولین بار توسط Pearce et al (1984) برای تمايز افیولیت‌های با ویژگی‌های ژئوشیمیایی کمان‌های آتشفسانی از افیولیت‌های با ویژگی‌های ژئوشیمیایی مشابه با پوسته‌های اقیانوسی

هستند. برخی از الگوها در ترازهایی پایین‌تر از مورب عادی (N-MORB) جای گرفته‌اند که نشان از ترکیب تهی شده منبع گوشته‌ای در بالای صفحه فرورونده دارد، هرچند تأثیر این سیال‌ها سبب غنی شدگی از عناصری مانند Th, Cs, Rb, K و Ba نیز شده است (Herbert et al., 2009; Tian et al., 2008; Stern et al., 2006). الگوهای تجزیه‌های پلاژیوگرانیت-Arculus (Arculus 1994; Elliott et al., 1997) ترونجمیت و کوارتزدیوریت آمفیبولیت‌دار، دارای روندی متفاوت با بقیه نمونه‌ها هستند که شب قابل توجهی دارند و قابل مقایسه با ویژگی‌های ماگماتیسم کمان‌های بالغ هستند. تهی شدگی از عناصر HFSE، ناهمگونی در ترکیب منشأ و قرارگیری نمودارهای عنکبوتی در ترازهایی با فاصله قابل توجه، مقایسه تحولات ماگماتی سازنده توالی پوسته‌ای افیولیت تکتونیزه کهدوئیه را آنچه که در مورب‌ها گزارش شده است با اشکال مواجه می‌کند.

در یک بازنگری (Pearce, 2003)، چند نمودار کلی برای تشخیص و جدایش افیولیت‌های با خاستگاه مورب از افیولیت‌های با منشأ سوپرا-سایدآکشن پیشنهاد کرد. اساس این بازنگری بر پایه نمودارهایی بود که طی سال‌های پس از تعریف کمیته Penros از واژه "افیولیت" در معرض تجربه پژوهشگران بوده است و ما نیز در این مقاله تنها از دو نمونه از آن‌ها سود برده‌ایم. شکل ۷، نخستین نمودار مورد استفاده از مجموعه نمودارهای پیشنهادی است که در آن از نسبت‌های عناصر Th/Yb به Ta/Yb استفاده شده است. این نمودار توسط Pearce (1982) پیشنهاد و توسط Pearce (2003) تصحیح شد. قلمروهای توئیتی، کالکوآلکالن و شوشوئنیتی نیز از Faustino et al (2006) برگرفته شده است. در این نمودار گابروی ایزوتروپ، پگماتیت گابرو و دایک دیابازی قطعه کننده آن‌ها و هورنبلاند گابرو در قلمروی توئیتی با خاستگاه مورب تهی شده جای گرفته‌اند اما دایک‌های ورقه‌ای دیابازی و منفرد، کوارتزدیوریت، گذازه بالشی و جریان صفحه‌ای در قلمروهای توئیتی و کالکوآلکالن واقع شده‌اند که به نوعی تأیید تفسیر نمودارهای عنکبوتی است. می‌توان گفت که پیشتر نمونه‌های افیولیت تکتونیزه کهدوئیه در منطقه سوپرا-سایدآکشن با ویژگی‌های توئیتی و کالکوآلکالن جای گرفته‌اند. در نمودار بعدی از نسبت‌های Ta/Hf و 3/Th به کار رفت. از آن جا که تمامی گذازه‌های کمانی، غنی شدگی از عنصر Th را نشان می‌دهند (Juteau & Maury, 2009) را نشان می‌گیرد. این ترکیبات ممکن است به طور عمده از دو کلیدی در تحولات ماگماتی مرتبه با زون‌های فروزانش است و به همین دلیل توسط گروه ژئوشیمی آزمایشگاه پیرسوس در پاریس برای جدایش افیولیت‌های نوع مورب از نوع سوپرا-سایدآکشن پیشنهاد شد. در این نمودار، قلمروهای BC بازالت‌های مورب، قلمروهای CD بازالت‌های جزایر اقیانوسی (OIB) و قلمرو A ماگماتیسم مرتبط با زون‌های سوپرا-سایدآکشن را نشان داده است. پیشتر تجزیه‌های مربوط به افیولیت کهدوئیه در قلمرو سوپرا-سایدآکشن واقع شده‌اند (شکل ۸).

بررسی نمودارهای عنکبوتی و نمودارهای تکتونیماگماتیک محدوده کهدوئیه حکایت از تشکیل افیولیت این ناحیه در یک زون سوپرا-سایدآکشن با تأثیر متفاوت ترکیبات فروزانش دارد. این ترکیبات ممکن است به طور عمده از دو راه به گوه گوشته‌ای بالای صفحه فرورونده انتقال یابند و ضمن تأثیر بر نقطه ذوب با آن واکنش دهند: ۱- به صورت سیال‌های آب‌دار ناشی از شکسته شدن کانی‌های آب‌دار در ضمن فروزانش صفحه فرورونده و ۲- مذاب ناشی از ذوب بخشی این صفحه. حال یکی از اساسی‌ترین سؤال‌هایی که باقی می‌ماند این است که این نقل و انتقالات به وسیله سیال‌های آب‌دار صورت می‌گیرد یا از مواد مذاب؟ در این رابطه نمودارهایی که در آن‌ها نسبت‌های عناصر ناسازگاری چون Th/Ba و Nb به کار رفته است مفید است؛ چرا که مقدار این عناصر در بازالت‌های نامربط با فروزانش بسیار ناچیز است (Niu & Batiza, 1997). بنابراین رسم این عناصر در نمودارهای ژئوشیمیایی بازتابی از رفتار آن‌ها در حین ذوب بخشی و یا

که نشان می‌دهد که افیولیت تکتونیزه کهدوئیه دست کم مراحل تولد، جوانی و بلوغ را طی کرده است. برای ارائه یک مدل ژئودینامیکی و این که آیا افیولیت این محدوده در پیشانی کمان-کشیدگی درون کمان و یا پشت کمان تشکیل شده‌اند، همچنان نیاز به داده‌های بیشتر از افیولیت این کمربند، محدوده اطراف نائین و همچنین جایگاه سنی رخمنون‌های دگرگون همراه با این کمربند افیولیتی و کمپلکس‌های دگرگونی زون سنتنج-سیرجان در حاشیه باختری مجاور را دارد. منشاء پلی‌ژنیک آن‌ها در کنار نقش سیال‌ها در تکوین مagma‌های توالی پوسته‌ای، اختلال تشکیل افیولیت کنونی در محل رخمنون یک افیولیت کهن را تقویت می‌کند. افیولیتی که دستخوش فروزانش شده و در هنگام تشکیل افیولیت کنونی از بین رفته است. افیولیت Shafaii Moghadam et al. (2009) با توجه به ویژگی‌های ژئوشیمیایی از جمله روند تولیتی و کالکوآلکالن، تشکیل افیولیت کمربند نائین-بافت را به یک بازشدگی پشت کمان نسبت داده‌اند. همان‌گونه که بیان شد، انتساب این کمربند افیولیتی به یک حوضه پشت کمان نیاز به دلیل علمی و کارهای پژوهشی با جزیات بیشتری دارد. افزون بر این که در نوشتار و همچنین ستون چینه‌شناسی پیشنهادی آنان از ماسیف ده شیر (که محدوده کهدوئیه نیز در آن واقع است) افزون بر رسم سوآرم دایک، اساساً هیچ گونه اشاره‌ای به رخمنون کمپلکس دایک‌های ورقه‌ای دیابازی، اینتروژن‌های ورلیتی-الیون و بسترتی و آپوفیزهای کوارتزدیوریتی آمفیبول دار نشده است و گابروهای کومولیتی و ایزوتروپ را بصورت پاکت‌ها و پودهایی در نظر گرفتند که با واقعیت‌های روی زمین، دست کم در محدوده کهدوئیه همخوانی ندارند (شکل‌های ۳ و ۴). افزون بر این، ویژگی‌های مagma‌یابی تولیتی کمانی و کالکوآلکالن در کمربندی‌های افیولیتی پیشانی کمان و زون‌های کششی درون کمان مانند Range Coast در کالیفرنیای امریکا نیز گزارش شده است (Shervais et al., 2007; Shervais, 2001).

که افزون بر اصلاح ستون چینه‌شناسی، تنها بخش کوچکی در قاعده توالی خروجی را به عنوان کمپلکس دایک‌های دیابازی در نظر گرفتند.

## ۶- نتیجه‌گیری

- افیولیت تکتونیزه کهدوئیه در جنوب ده شیر از توالی‌های گوشه‌ای و پوسته‌ای تشکیل شده است. توالی گوشه‌ای در بردارنده هارزبورژیت، هارزبورژیت کلینوپیرکسن دار و لرزولیت است که شواهد دگرگشکلی گوشه‌ای را نشان می‌دهند. بخش درونی توالی پوسته‌ای از گابر و هورنبلاندیار با ویژگی‌های کومولابی و کمپلکس دایک‌های ورقه‌ای دیابازی تشکیل شده است که توسط اینتروژن‌های ورلیتی-الیون و بسترتی، آپوفیزهای کوارتزدیوریتی-کوارتزمونزدیوریتی، پگماتیت گابر و پلاژیوگرایت-ترونجمیت قطع شده‌اند. توالی خروجی نیز از جریان صفحه‌ای، گدازه‌ی بالشی، چرت-رادیولاریت سرخ‌رنگ و سنگ‌آهک پلاژیک با ریزفیل‌های کرتاسه بالایی تشکیل شده است.

- افیولیت تکتونیزه کهدوئیه چند منشای است و روندهای ژئوشیمیایی تولیتی و کالکوآلکالن دارد و قابل مقایسه با افیولیت‌های نوع سوپرا-سابتادکشن است.

- ترکیبات برخاسته از صفحه فرورونده بویژه سیال‌ها، نقش اصلی را در منشاء magma‌یابی پوسته‌ای این محدوده داشته است.

- با توجه به بنده‌های ۱ و ۲، افیولیت این محدوده مراحل تولد، جوانی و بلوغ را گذرانده و همانند بسیاری از افیولیت‌های نوع سوپرا-سابتادکشن عمری کوتاه داشته است.

- تشکیل افیولیت محدوده کهدوئیه را شاید بتوان با سناریوی فروزانش کلی نتوییس طی دوران مژوزویک و بویژه کرتاسه بالایی به زیر ایران مرکزی توجیه کرد که البته ارائه یک مدل ژئودینامیکی معرف، نیاز به داده‌های علمی بیشتری دارد.

کنونی به کار رفت و کاربرد وسیعی یافت. این نوع افیولیت‌ها هم در بازشدگی‌های پیشانی کمان (fore-arc) مانند افیولیت‌های Trodouds، عمان و Range Coast کالیفرنیا و هم در حوضه‌های پشت کمان (back-arc) مانند افیولیت Jaspine گزارش شده‌اند. البته گوناگونی سنگ‌شناصی- ژئوشیمیایی در محیط‌های پشت کمان عادی است (Dadd, 1998; Xu et al., 2002) به طوری که ممکن است حتی بخش قابل توجهی از بازالت‌ها در این حوضه‌ها، ویژگی‌های ژئوشیمیایی مشابه بازالت‌های پشت‌های میان اقیانوسی را نیز داشته باشند، اما در مقایسه با افیولیت‌های کمان، شناسی بیشتری برای حفظ در پوسته قاره‌ای کناری در جریان فروزانش و دربی آن برخورد (collosion) را دارند (Bedard et al., 1998; Kato & Saka, 2006).

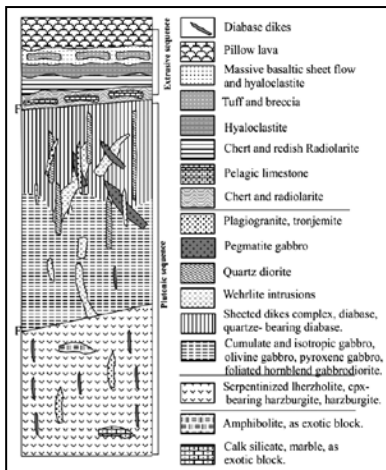
دیرزمانی است که بحث تشکیل افیولیت‌ها و ویژگی‌های ژئوشیمیایی آن‌ها بستر مناسبی را برای ارائه مدل‌های ژئودینامیکی فراهم کرده است. مدل‌هایی که هر از چند گاه دچار تغییر زیادی نیز می‌شوند. در افیولیت‌های نوع سوپرا-سابتادکشن بویژه انواعی که در حاشیه قاره‌ای فعال و جنبه و پیشانی کمان‌ها و یا در بازشدگی‌های درون کمان (intra arc extention) (شکل می‌گیرند، مجموعه فرایندهایی دخالت دارند که Shervais (2001) آن‌ها را در ۵ مرحله خلاصه کرده است:

- (۱)- مرحله تولد (birth) (۲)- مرحله جوانی (youth) (۳)- مرحله بلوغ (maturity)
- (۴)- مرحله احیاء (resurrection)
- (۵)- مرحله مرگ (death)

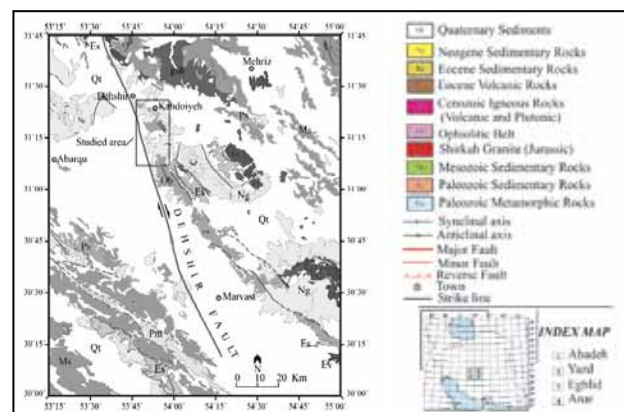
در مرحله تولد، افیولیت‌ها در بالای زون فروزانش و در مراحل اولیه تشکیل این زون، شکل می‌گیرند. در این مرحله گذاره‌های تولیتی کمانی (arc tholeiite)، گابروهای لایه‌ای و کمپلکس دایک‌های ورقه‌ای دیابازی از ذوب بخشی سست کره تشکیل می‌شوند. در مرحله جوانی، سست کره دیرگذار refractory Astenospher) دچار ذوب بخشی می‌شود و اینتروژن‌های کمانی، اینتروژن‌های می‌شوند. مرحله بلوغ با فوران فعالیت آشفارشانی با ویژگی‌های کمانی، اینتروژن‌های کوارتزدیوریتی و حتی گدازه‌های سیلیسی همراه است. در مرحله مرگ، فرایند گسترش (spreading) اقیانوس و فعالیت آشفارشانی متوقف می‌شود. این مرحله با تشکیل دایک‌ها و گدازه‌های با ویژگی‌های اقیانوسی همراه است که سری‌های پیشین را قلعه کرده و یا برروی آن‌ها نهشته شده‌اند. مرحله احیاء با جایگیری افیولیت در درون حاشیه قاره‌ای غیرفعال و یا فروزانش آن همراه است و با ادامه فروزانش، با بالا آمدگی افزایشی (accretionary uplift) ادامه خواهد یافت. مرحله تولد، جوانی و بلوغ ممکن است در زمان‌های مختلفی رخ دهد و هر مرحله با مرحله پیشین ممکن است هم پوشانی داشته باشد. شناخت این مراحل نشان می‌دهد که تشکیل افیولیت‌ها در زون‌های سوپرا-سابتادکشن، یک حادثه اتفاقی نبوده بلکه پیامد مجموعه‌ای از حوادث در این محیط زمین ساختی است.

همان‌گونه که بیان شد، افیولیت تکتونیزه کهدوئیه در حاشیه جنوب باختری خردۀ قاره ایران مرکزی واقع شده است و در حاشیه باختری آن با واسطه فروافتادگی ابرکوه، سری‌های دگرگونی وابسته به زون ساختاری سنتنج-سیرجان واقع هستند. افیولیت این محدوده ویژگی‌های ژئوشیمیایی تولیتی کمانی و کالکوآلکالن یا همان ویژگی‌های افیولیت‌های سوپرا-سابتادکشن را نشان می‌دهند اما همانند مشاهدات Shervais (2001, 2007) در ناحیه Range Coast نشان داده است که افیولیت این ناحیه ویژگی‌های یک افیولیت بالغ را نیز نشان می‌دهند. به این ترتیب که افزون بر رخمنون‌های آشکاری از گابروهای فولیه (که قابل مقایسه با افق‌های بالای توالی‌های گابروبی در افیولیت‌های شاخص هستند)، کمپلکس دایک‌های ورقه‌ای دیابازی، اینتروژن‌های ورلیتی (که اولین بار در این پژوهش به آن‌ها اشاره شده است) و آپوفیزهای کوچک از کوارتزدیوریت-کوارتزمونزدیوریت نیز در این محدوده شناسایی شده‌اند. رخمنون سنگ‌های اخیر از جمله شواهد شاخص روی زمین است

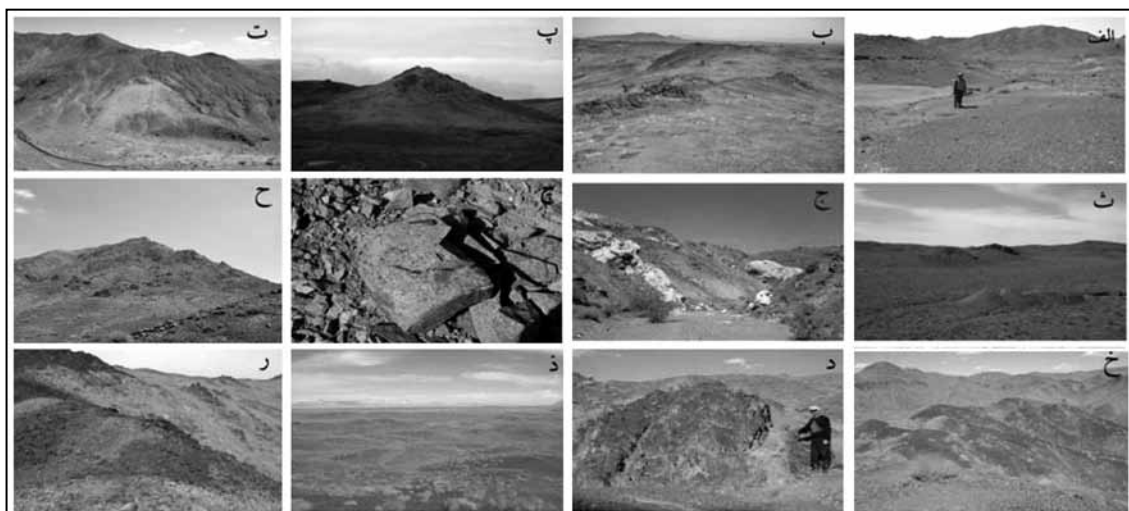
شکل ۱- پراکندگی مجموعه‌ها و کمپلکس‌های افیولیتی ایران و موقعیت محدوده مورد مطالعه. این شکل تلفیقی از داده‌های نقشه ماگماتیک ایران (Emami et al., 1993) و واحدهای مهم ساختاری-زمین‌ساختی ایران مرکزی (Ghasemi & Talbot, 2006) است. حروف معرف عبارتند از: SHB: افیولیت خوی، KM: افیولیت کرمانشاه، NA: افیولیت نائین، KH: افیولیت شهریابک، NY: افیولیت نیریز، BZ: افیولیت بزمان، SB: افیولیت سبزوار، TK: افیولیت چهل کوره، TH: افیولیت تربت حیدریه.



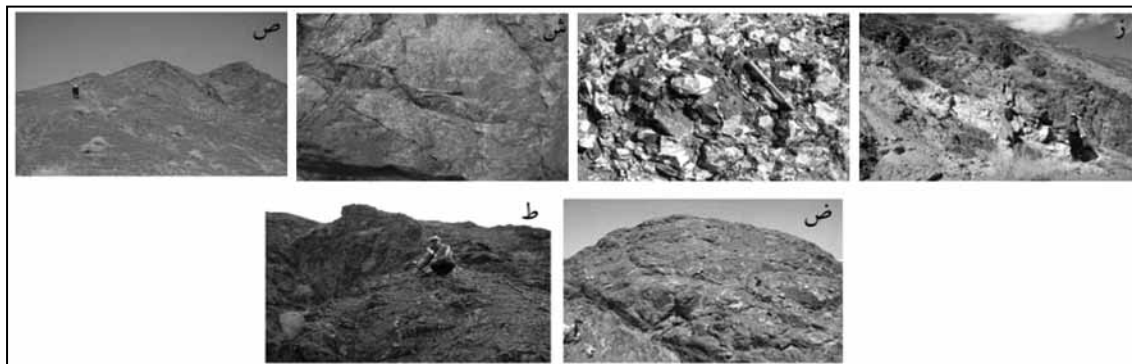
شکل ۳- ستون چینه‌نگاری نمادین از واحدهای مختلف توالی‌های درونی و بیرونی افیولیت تکتونیزه کهدوئیه، جنوب ده‌شیر که توضیح آن در متن مقاله آورده شده است.



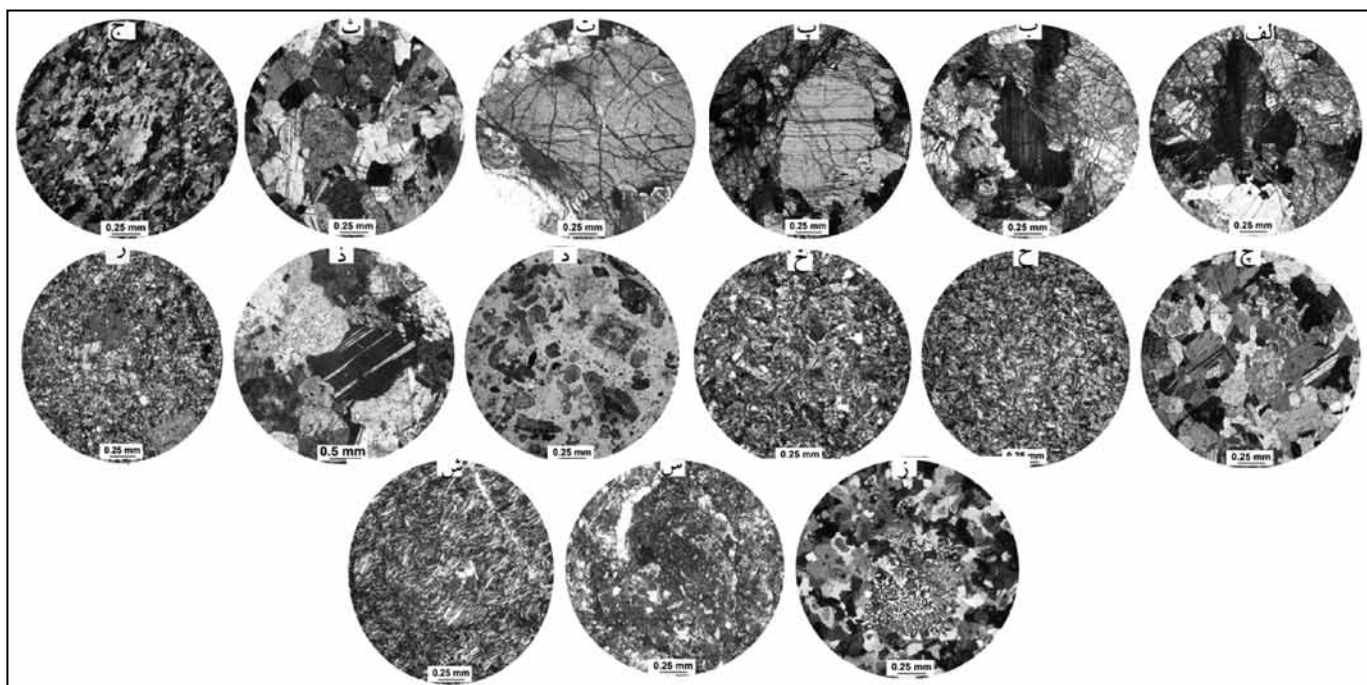
شکل ۲- نقشه ساده شده زمین‌شناسی و موقعیت محدوده مورد مطالعه در بخش شمالی کمربند افیولیتی ده شیر- بافت و سنگ‌های اطراف بر پایه اطلاعات نقشه‌های زمین‌شناسی آباده، یزد، اقلید و اثار. ۱:۲۵۰,۰۰۰



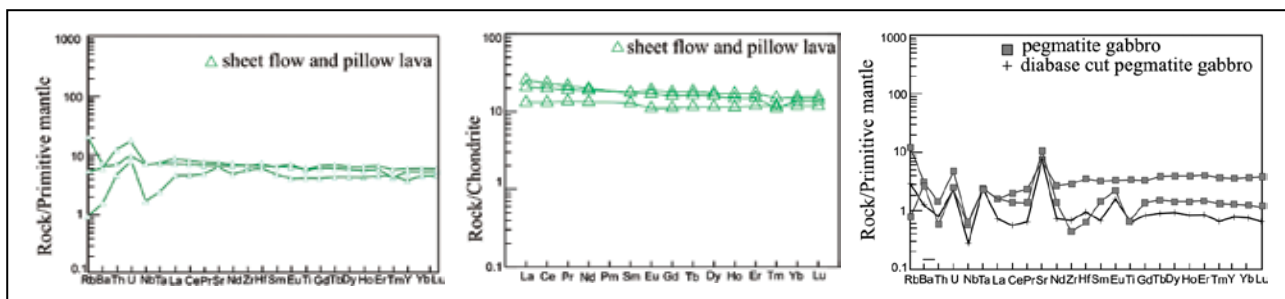
شکل ۴- عکس واحدهای مختلف محدوده کهدوئیه: (الف) نمایی از پریدوتیت در باخت رستای اردان، (ب) دایک‌های منفرد دیابازی که پریدوتیت را قطع کرده‌اند، (پ) پلاژیوگرانیت که در جنوب کمر چاه سرخ پریدوتیت را قطع کرده است، (ت) باخت رمزره رشکوئیه- خاور معدن سنگ، ترونجمیت به صورت بوده‌ایی پریدوتیت را قطع کرده است، (ث) رخمنو لیستونیت در خاور کمر چاه سرخ، (ج) بلوک‌های سرگردان از کالک- سیلکات که به صورتی تکتونیزه در درون پریدوتیت دیده می‌شوند، (چ) گابرو هورنبلاندار فویله در کمر چاه سرخ، (ح) چشم‌اندازی از کمپلکس دایک‌های ورقه‌ای دیابازی در کوه اسلامون، (خ) ایترورژن‌های تیره‌رنگ ورلیتی- الیوین وستریتی در خاور ریش کوه که کمپلکس دایک‌های ورقه‌ای دیابازی را قطع کرده‌اند، (د) نمایی نزدیک از دایک‌های ورقه‌ای دیابازی در خاور ریش کوه، (ذ) آپویزهایی از کوارتزدیوریت آمفیبول‌دار با رنگ خاکستری متمایل به سبز که در شمال خاوری کمر چاه سرخ، دایک‌های ورقه‌ای دیابازی را قطع کرده‌اند، (ر) ایترورژن‌های ورلیتی با آزیموت تقریباً شمالی- جنوبی که گابرو ایزوتروپ را قطع کرده‌اند،



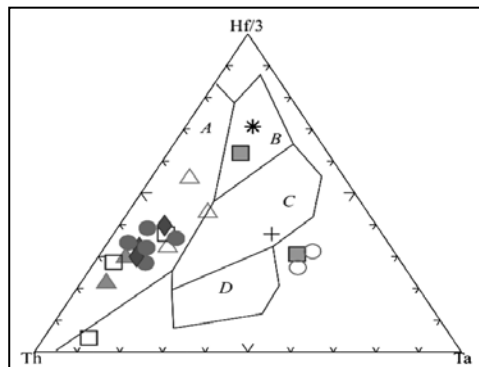
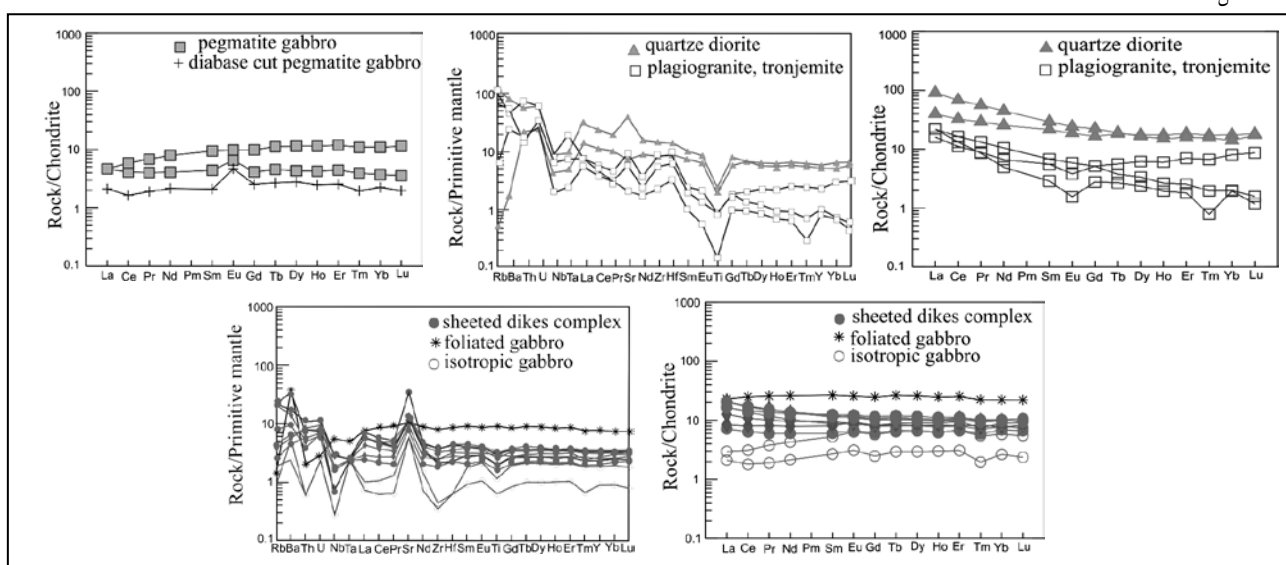
شکل ۴- ز) اینتروژن‌های ورلیتی در خاور ریش کوه که کمپلکس دایک‌های ورقه‌ای دیباخی را قطع کرده‌اند و توسط پگماتیت گابرو خاکستری رنگ و سپس پلازیوگرانیت روش رنگ قطع شده‌اند، س) نمایی نزدیک از پگماتیت گابرو در خاور ریش کوه ، ش) آخرین فاز ماقمایتیک در توالی پوسته‌ای درونی، با ترکیب دیباخی که در شمال‌باخته کوه اسالمون پگماتیت گابرو را قطع کرده است، ص) نمایی عمومی از توالی خروجی شامل گذاره‌ی بالشی و جریان صفحه‌ای در جنوب خاوری ریش کوه، ض) نمایی نزدیک از توالی خروجی در روستای اردان که در آن رادیولاریت در قاعده و گذاره‌ی بالشی در بالای سری قرار دارد و ط) دگرسانی کف دریا و اپیدوتی شدن شدید توالی خروجی در ریش کوه.



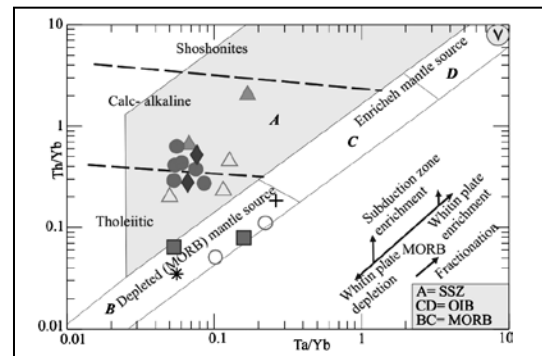
شکل ۵- تصاویر میکروسکوپی انتخابی شامل آلفا) الیوین با ساختار داخلی کینک در هارزبورزیت با دگرشکلی گوشته‌ای، ب) نواهای نازک دیوپسید در درون آستاتیت، پ) بلور درشت نادگرشکل دیوپسید در لرزولیت، ت) بلورهای ریز الیوین فاقد ساختار کینک در درون ارتوبیرو-کسن بلورهای الیوین دگرشکل در پایین مقاطعه دیده می‌شوند، ث) پیرو-کسن، گابرو، ج) هورنبلاتد گابرو، چ) ارتوبیرو-کسن در الیوین-گابرو، ح) دیباخ ریزبلور، خ) دیباخ دارای بلورهای ریز کوارتز، د) کوارتزدیبوریت آمفیبولدار، ذ) پگماتیت گابرو، ر) پلازیوگرانیت با بافت فیریک و خمیره ریزبلور، ترونجمیت با بافت میکروپگماتیت گرافیک، س) جانشینی شیشه آتشفشاری با اسمکتیت زیتونی رنگ، ش) بافت میکروپلیتیک جریانی در جریان صفحه‌ای.



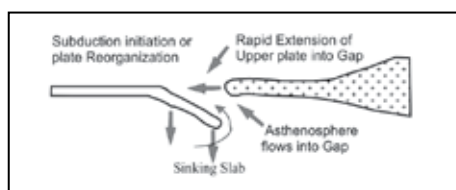
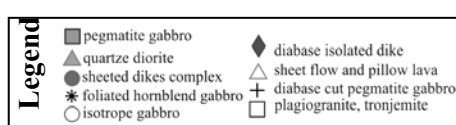
شکل ۶- نمودارهای عنکبوتی بهنجار شده نسبت با مقادیر استاندارد گوشته‌ای و کندریت Sun & MaDonough (1999) از واحدهای مختلف افیولیت کهادوئیه نشان داده شده است.



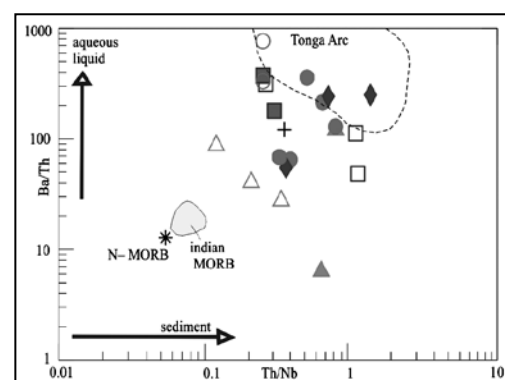
شکل ۸- نمودار سه‌تایی نسبت‌های  $\text{Th}/\text{Hf}$ ,  $\text{Ta}$  و  $\text{Th}/\text{Yb}$  که توسط Wood et al. (1979, 1980) به کار رفته است. در این نمودار، قلمروهای BC بازالت‌های CD (MORB)، A مورب (OIB) و قلمرو ماغماتیسم مرتبط با مناطق سوپرا- سابداکشن را نشان داده است. بیشتر تجزیه‌های افیولیت کهدوئیه در زون سوپرا- سابداکشن واقع شده‌اند.



شکل ۷- نمودار نسبت عناصر  $\text{Th}/\text{Yb}$  به  $\text{Ta}/\text{Yb}$  (Pearce 1982) پیشنهاد و توسط Pearce (2003) تصحیح شد. قلمروهای تولیتی، کالکو-آلکان و شوشوئیتی از Faustino et al. (2006) برگرفته شده است. بیشتر نمونه‌های افیولیت تکتونیزه کهدوئیه در زون سوپرا- سابداکشن رسم شده‌اند. به نظر می‌رسد که نمونه‌های از گابریوهای ایزو-تروب و پگماتیت گابریو، منشأ تهی شده داشته‌اند و بقیه نمونه‌ها ویژگی‌های حدوداً سطح تولیتی- کالکو-آلکان دارند.



شکل ۱۰- مدل تمدنی و برگرفته از Stern & Blomer (1992) ارتباط تشکیل افیولیت با ازدست‌گیری سریع در صفحه بالایی یک زون فروانش در شرف تولد را نشان داده است. توضیح بیشتر در متن مقاله، داده شده است.



شکل ۹- موقعیت تجزیه‌های منطقه و تأثیر بیشتر سیال‌ها و نقش کمتر رسوبات در رُن افیولیت کهدوئیه. داده‌ها از Tian et al. (2008) و منابع آن استفاده شده است.

## کتابنگاری

- آفتابی، ع. و فتحی، غ.، ۱۳۷۵- زمین‌شناسی و ارزیابی پتانسل معدنی کمریند افیولیتی خمرود- شهریابک کرمان. *فصلنامه معدن و فلزات*، شماره ۵۰، صفحه ۶۰-۶۳.
- ابراهیمی شاه آبادی، م.، ۱۳۸۴- بررسی ژئوشیمی و پترولوژی توده‌های نفوذی بخش دهچ- خمرود واقع در نوار افیولیت- ملاتر خمرود- شهریابک، پایان‌نامه کارشناسی ارشد، دانشگاه شهید بهشتی کرمان.
- امینی، ص. و کریمی، ا.، ۱۳۸۴- ارائه یک توالی کامل افیولیتی از مجموعه‌های افیولیتی دهشیر- شهریابک، مجموعه مقالات نهمین همایش انجمن زمین‌شناسی ایران، دانشگاه تربیت معلم تهران. صفحه ۴۹۴-۵۰۶.
- روشن روان، ج.، سبزه‌ای، م.، نظام زاده شجاعی، م.، ۱۳۷۵- ورقه ۱:۱۰۰,۰۰۰ ده شیر. سازمان زمین‌شناسی و اکتشافات معدنی کشور.
- سلطان محمدی، ا.، ۱۳۸۸- ژئوشیمی و پترولوریت‌سکانس پوسته‌ای افیولیت‌های خبر- مروست، شمال غرب شهریابک. پایان‌نامه کارشناسی ارشد، دانشگاه شهید بهشتی.
- شفائی مقدم، م.، ۱۳۸۷- کمریند افیولیتی نائین- بافت: سن، ساختار و منشأ. رساله دکتری، دانشگاه شهید بهشتی، ۵۹۰ صفحه.
- عمیدی، س. م.، ۱۳۶۲- تلفیق ورقه ۱:۲۵۰,۰۰۰ آباده. سازمان زمین‌شناسی و اکتشافات معدنی کشور.

## References

- Arculus, R. J., 1994- Aspects of magma genesis in arcs. *Lithos*, 33, 189-208.
- Beccaluva, L., Coltorti, M., Giunta, G. & Siena, F., 2004- Tethyan vs. Cordilleran ophiolites: a reappraisal of distinctive tectono-magmatic features of supra-subduction complexes in relation to the subduction mode. *Tectonophysics*, 393, 163 – 174.
- Bedard, J. H., Lauziere, K., Tremblay, A. & Sangster, A., 1998- Evidence for forearc seafloor-spreading from the Betts Cove ophiolite, New Foundland, Oceanic crust of boninitic affinity, *Tectonophysics*, 284, 233-245.
- Brouxel, M. & Lapierre, H., 1998- Geochemical study of an early Paleozoic island-arc-back-arc basin system, Part 1, The Trinity complex, eastern ophiolite (northern California). *Geological Society of America Bulletin*, 100, 1111-1119.
- Dadd, K. A., 1998- Incipient back-arc magmatism in the Silurian Tumut Trough, new south wales, An ancient analogue of the early Lau Basin, *Australian Journal of Earth Sciences*, 45, 109-121.
- Dilek, Y. & Furnes, H., 2009- Structure and geochemistry of Tethyan ophiolites and their petrogenesis in subduction roll back systems. *Lithos*, doi: 10.1016/j.lithos.2009.04.022.
- Dilek, Y., 2003- Ophiolite concept and its evolution, in Dilek, Y., and Newcomb, S., eds., *Ophiolite Concept and the Evolution of Geological Thought*, *Geological Society of America Bulletin*, Special Paper, 373, 1-16.
- Dilek, Y., Furnes, H. & Shallo, M., 2007- Suprasubduction zone ophiolite formation along the periphery of Mesozoic Gondwana. *Gondwana Research*, 11, 453-475. DOI:10.1016/j.gr.2007.01.005.
- Dimitrijevic, M. D., 1972- Geology of Kerman. Geological survey of Iran, No. 72.
- Elliott, T., Plank, T., Zindler, A., White, W. & Bourdon, B., 1997- Element transport from slab to volcanic front at the Mariana arc. *Journal of Geophysical Research*, 102, 14991-15019.
- Emami, M. H., Sadeghi, M. M. & Omrani, S. J., 1993- Magmatic map of Iran. Scale 1:1,000,000 Geological Survey of Iran and Minning exploration.
- Faustino, D. V., Yumul, Jr. G. P., Dimalanta J. V. de Jesus, C. B., Aitchison, J. C. & Tamayo, Jr. R. A., 2006- Volcanic hypabyssal rocks geochemistry of a subduction-related marginal basin ophiolite: Southeast Bohol Ophiolite-Cansiwang Melange complex, central Philippines. *Geosciences Journal*, V10, N3, 291-303.
- Ghasemi, A. & Talbot, C. J., 2006- A new tectonic scenario for the Sanandaj-Sirjan zone (Iran). *Journal of Asian Earth sciences*. 26 , 683-693.
- Hebert, L. B., Asimow, P. & Antoshechkina, P., 2009- Fluid source-based modeling of melt initiation within the subduction zone mantle wedge: Implications for geochemical trends in arc lavas. *Chemical Geology*. CHEMGE-15780; No of Pages 14. Article in press.
- Hermann, J., 2002- Allanite: thorium and light rare earth element carrier in subducted crust. *Chemical Geology*, 192, 289–306.
- Hunter, R. H., 1996- Texture development in cumulate rocks. In: *Layered Intrusions*, edited by Richard Grant Cawthorn. Elsevier, Amsterdam, 77-101.
- Juteau, T. & Maury, R., 2009- La croute océanique, Pétrologie et Dynamique Endogène. Société Géologique de France Vuibert. Paris, Cedex 13, 470pp.
- Juteau, T. & Maury, R., 1999- “The oceanic crust, from accretion to mantle recycling”, Springer-Paris, Chichester, 18, 109-121. p367.
- Kato, K. & Saka, Y., 2006- New model for the Early Cretaceous development of SW Japan based on basic rocks of the Chichibu composite Terrane. *Geosciences Journal*, V10, N3, 320-345.
- Keppler, H., 1996- Constraints from partitioning experiments on the composition of subduction-zone fluids. *Nature* 380, 237–240.
- Knipper, A., Ricou, L. E., 1986- Ophiolites as indicators of the geodynamic evolution of the Tethyan Ocean. *Tectonophysics*, 123, 213- 40.
- Kocak, K., Isik, M., Arslan, M. & Zedef, V., 2005- Petrological and source region characteristics of ophiolitic hornblende gabbro from the Aksaray and Kayseri region, central Anatolian crystalline complex, Turkey. *Journal of Asian Earth sciences*, 25, 883-891.

- Le Bas, M. J., Le Maitre, R. W., Streckeisen, A. & Zanettin, B., 1986- A chemical classification of volcanic rocks based on the total alkali silica diagram. *Journal of Petrology*, 27, 745-750.
- Miyashiro, A., 1973- The Troodos Complex was probably formed in an island arc. *Earth and Planetary Sciences Letter*, 25, 217-222.
- Munter, O. & Piccardo, G., 2003- Melt migration in ophiolitic peridotites: the message from Alpine- Apennine peridotites and implications for embryonic ocean basins. In *Ophiolite Concept and the Evolution of Geological Thought: Geological Society of America Bulletin, Special Paper*, 373, 69-88.
- Niu, Y. & Batiza, R., 1997- Trace element evidence from seamounts for recycled oceanic crust in the eastern Pacific mantle. *Earth and Planetary Science Letters* 148, 471-483.
- Pearce, J. A., 1982- Trace element characteristics of lavas from destructive plate boundaries. In: Thorpe, R.S. (Ed.), *Orogenic Andesites*. Wiley, Chichester, U.K, 528-548.
- Pearce, J. A., 2003- Supra- subduction zone ophiolites: The search for modern analogues. In: Dilek, Y. and Newcomb, S. *Ophiolites concept and evolution of geological thought*. Geological Society of America Bulletin, 373, Boulder, Colorado, 269- 293.
- Pearce, J. A., Lippard, S. J. & Roberts, S., 1984- Characteristics and tectonic significance of supra-subduction zone ophiolites. *Geological Society of London, Special Publication*. 16, 77-94.
- Robertson, A., 2002- Overview of the genesis and emplacement of Mesozoic ophiolites in the Eastern Mediterranean Tethyan region. *Lithos*, 65, 1-67.
- Saccani, E. & Photiades, A., 2004- Mid-ocean ridge and supra-subduction affinities in the Pindos ophiolites (Greece): implications for magma genesis in a fore arc setting. *Lithos*, 73, 229-253.
- Shafaii Moghadam, H., Stern, R. J. & Rahgoshay, M., 2010- The Dehshir ophiolite (central Iran): geochemical constraints on the origin and evolution of the inner Zagros ophiolitic belt. *Geological Society of America Bulletin*, 122, 1516-67.
- Shafaii Moghadam, H., Whitechurch, H., Rahgoshay, M. & Monsef, I., 2009- Significance of Nain-Baft ophiolitic belt (Iran): Short-lived, transtensional Cretaceous back-arc oceanic basins over the Tethyan subduction zone. *C. R. Geoscience*, 341, 1016-1028.
- Shervais, J. W., 2001- Birth, death, and resurrection: The life cycle of suprasubduction zone ophiolites. *Geochems. Geophys. Geosys. PN* 2000GC00080. ISSN 1525-2027.
- Shervais, J. W., Kimbrough, D. L., Renne, P., Hanan, B. B., Murchey, B., Snow, C. A., Schuman, M. M. Z. & Beaman, J., 2007- Multi-Stage Origin of the Coast Range Ophiolite, California: Implications for the Life Cycle of Supra-Subduction Zone Ophiolites. *International Geology Review*, Vol. 46, 289-315.
- Soltanmohammadi, A., Rahgoshay, M., Khalatbari Jafari, M., 2009- Petrogenesis of volcanic rocks in the Khabr-Marvast tectonized ophiolite: Evidence for subduction processes in the south-western margin of central Iranian microcontinent. *Acta Geologica Sinica*, V 83, N 5, 884-892.
- Stern, R. J. & Bloomer, S. H., 1992- Subduction zone infancy: examples from the Eocene Izu-Bonine-Mariana and Jurassic California arcs. *Geological Society of America Bulletin*, 104, 1624-1636.
- Stern, R. J., Kohut, E. J., Bloomer, S. H., Leybourne, M., Fouch, M. & Vervoort, J., 2006- Subduction factory processes beneath the Guguan cross-chain, Mariana Arc: no role for sediments, are serpentinites important? *Contributions to Mineralogy and Petrology*, 151 (2), 202-221. doi:10.1007/s00410-005-0055-2.
- Sun, S. S. & McDonough, W. F., 1989- Chemical and isotopic systematics of oceanic basalts: implications for mantle composition and process. In: Saunders, A.D., Norry, M.J. (Eds.), *Magmatism in the Ocean Basins*, Geological Society of London, Special Publication, 42, pp.313-345.
- Tian, L., Castillo, P. L., Hawkins, J. W., Hilton, D. L., Hanan, B. B. & Pietruszka, A. J., 2008- Major and trace element and Sr-Nd isotope signatures of lavas from the Central Lau Basin: Implications for the nature and influence of subduction components in the back-arc mantle. *Journal of Volcanology and Geothermal Research* 178, 657-670.
- Winter, J. D., 2001- An introduction to igneous and metamorphic petrology. Prentice- hall inc. upper Saddle River, New Jersey. P 697.
- Wood, D. A., 1980- The applications of a Th-Hf-Ta diagram to problems of tectonomagmatic classification and to establishing the nature of crustal contamination of basaltic lavas of the British Tertiary Volcanic Province. *Earth and Planetary Science Letters* 50, 11-30.
- Wood, D. A., Joron, J. L., & Treuil, M., 1979- A re-appraisal of the use of trace elements classify and discriminate between magma series erupted in different tectonic settings. *Earth and Planetary Sciences Letters*, 45, 326-336.
- Xu, J. F., Castillo, P. R., Li, X. H., Yu, X. Y., Zhang, B. R. & Han, Y. W., 2002- MORB-type rocks from the Paleo-Tethyan Mian-Lueyang northern ophiolite in the Qinling Mountains, Central China: implications for the source of the low 206Pb/204Pb and high 143Nd/144Nd mantle component in the Indian Ocean. *Earth and Planetary Science Letters* 198, 323-337.
- You, C. F., Castillo, P. R., Gieskes, J. M., Chan, L. H. & Spivack, A. J., 1996- Trace element behavior in hydrothermal experiments: implications for fluid processes at shallow depths in subduction zone. *Earth and Planetary Science Letters* 140, 41-52.